

УДК 534.1

**К УСТОЙЧИВОСТИ ЛИНЕЙНЫХ СТОХАСТИЧЕСКИХ СИСТЕМ  
ПРИ ПЕРИОДИЧЕСКИ НЕСТАЦИОНАРНОМ ПАРАМЕТРИЧЕСКОМ  
ВОЗБУЖДЕНИИ**

СЕМЕНОВ В. А., СМИРНОВ А. И.

Изучается структура и конфигурация областей устойчивости линейных стохастических систем в случае, когда параметрическое возбуждение является периодически нестационарным случайным процессом. Параметрическое воздействие задается мультипликативным или аддитивным представлениями детерминированной периодической функции времени и некоторой случайной стационарной функции с дробно-рациональной спектральной плотностью. Для построения границ областей устойчивости используется метод моментных функций [1, 2] совместно с численным методом исследования устойчивости решений линейных дифференциальных уравнений с периодическими коэффициентами [3].

1. Пусть возмущенное движение системы описывается линейным дифференциальным уравнением

$$\frac{d^2 u}{dt^2} + 2\varepsilon \frac{du}{dt} + \omega_0^2 [1 + \Phi(t)] u = 0 \quad (1.1)$$

Здесь  $\omega_0, \varepsilon$  — действительные положительные постоянные,  $\Phi(t)$  — некоторая периодически нестационарная случайная функция относительно которой будем предполагать, что она может быть представлена одним из соотношений

$$\Phi(t) = \mu \varphi_1(t) \varphi_2(\omega t) \quad (1.2)$$

$$\Phi(t) = \mu_1 \varphi_1(t) + \mu_2 \varphi_2(\omega t) \quad (1.3)$$

где  $\mu, \mu_1, \mu_2, \omega$  — параметры возбуждения,  $\varphi_2(\omega t)$  — детерминированная периодическая функция времени,  $\varphi_1(t)$  — либо стационарный гауссовский белый шум, либо стационарный гауссовский процесс, удовлетворяющий соответственно уравнениям

$$\frac{d\varphi_1(t)}{dt} + \alpha \varphi_1(t) = \xi(t) \quad (1.4)$$

$$\frac{d^2 \varphi_1(t)}{dt^2} + 2\alpha \frac{d\varphi_1(t)}{dt} + \theta^2 \varphi_1(t) = \xi(t) \quad (1.5)$$

Здесь и в дальнейшем  $\xi(t)$  — стационарный гауссовский белый шум с математическим ожиданием, равным нулю.

Следуя [1, 2], введем вектор переменных  $x(t) = \{y_1(t), \dots, y_n(t); z_1(t), \dots, z_{n_1}(t)\}'$ , где  $y(t)$  и  $z(t)$  — вектора фазовых переменных для уравнения (1.1) и уравнения формирующего фильтра соответственно. Поведение системы в расширенном фазовом пространстве является марковским процессом. Вводя безразмерные параметры  $t' = \omega_0 t, s' = s/\omega_0, \gamma' = \varepsilon/\omega_0, \rho = \alpha/\omega_0, \nu = \omega/\omega_0, \vartheta = \Theta/\omega_0$ , полагая  $s' = 1$  и опуская штрих при  $t'$ , запишем соответствующие стохастические дифференциальные уравнения Ито

( $w(t)$  — одномерный винеровский процесс):

$$dx_1 = x_2 dt, \quad dx_2 = -(ax_1 + 2\gamma x_2) dt - bx_1 dw \quad (1.6)$$

$$dx_1 = x_2 dt, \quad dx_2 = -(ax_1 + 2\gamma x_2 + bx_1 x_3) dt \quad (1.7)$$

$$dx_3 = -\rho x_3 dt + dw$$

$$dx_1 = x_2 dt, \quad dx_2 = -(ax_1 + 2\gamma x_2 + bx_1 x_3) dt \quad (1.8)$$

$$dx_3 = x_4 dt, \quad dx_4 = -(2\rho x_1 + \theta^2 x_3) dt + dw$$

Уравнения (1.6) соответствуют возмущению  $\varphi_1(t) = \xi(t)$ , а (1.7) и (1.8) — случаям (1.4) и (1.5). Коэффициенты  $a$  и  $b$  в уравнениях (1.6) — (1.8) определяются выражениями  $a=1$ ,  $b=\mu\varphi_2(vt)$  или  $a=1+\mu_2\varphi_2(vt)$ ,  $b=\mu_1$  в зависимости от того, какое из соотношений (1.2) или (1.3) использовано для представления параметрического воздействия  $\Phi(t)$ .

Будем исследовать устойчивость нулевого решения  $u(t) \equiv 0$  по отношению к моментным функциям порядка  $r$  [1, 2]:

$$m_{\underbrace{jk\ell\dots}_r}(t) = \langle x_j(t) x_k(t) x_\ell(t) \dots \rangle \quad (j, k, \ell, \dots = 1, 2, \dots, n+n_1) \quad (1.9)$$

Образует из моментных функций (1.9) вектор

$$m_0^r(t) = \{m_1^r(t), m_2^r(t), \dots, m_r^r(t)\}' \quad (1.10)$$

компонентами которого являются моментные функции процесса  $x(t)$  от первого до  $r$ -го порядка включительно, соответствующее векторное пространство обозначим  $M_1^r$ , а норму в векторном пространстве —  $\|m_0^r\|$ . Решение  $u(t) \equiv 0$  назовем устойчивым по совокупности моментных функций порядка  $r$  (или до порядка  $r$  включительно), если для каждого  $\beta > 0$  можно найти такое  $\delta(\beta) > 0$ , что из условия  $\|m_0^r(t_0)\| < \delta$  следует

$$\sup_{t_0 \leq t < \infty} \|m_0^r(t)\| < \beta \quad (1.11)$$

Для получения уравнений относительно моментных функций используем уравнения Колмогорова для переходных плотностей вероятности  $p(x, t)$  диффузионных марковских процессов  $x(t)$ , которые в случае систем (1.6) — (1.8) имеют соответственно вид

$$\frac{\partial p}{\partial t} = 2\gamma p - x_2 \frac{\partial p}{\partial t} + (ax_1 + 2\gamma x_2) \frac{\partial p}{\partial x_2} + \frac{x_1^2}{2} b \frac{\partial^2 p}{\partial x_2^2} \quad (1.12)$$

$$(1.13)$$

$$\frac{\partial p}{\partial t} = (2\gamma + \rho) p - x_2 \frac{\partial p}{\partial x_1} + (ax_1 + 2\gamma x_2 + bx_1 x_3) \frac{\partial p}{\partial x_2} + \rho x_3 \frac{\partial p}{\partial x_3} + \frac{1}{2} \frac{\partial^2 p}{\partial x_3^2}$$

$$\frac{\partial p}{\partial t} = 2(\gamma + \rho) p - x_2 \frac{\partial p}{\partial x_1} + (ax_1 + 2\gamma x_2 + bx_1 x_3) \frac{\partial p}{\partial x_2} -$$

$$- x_4 \frac{\partial p}{\partial x_3} + (\theta^2 x_3 + 2\rho x_4) \frac{\partial p}{\partial x_4} + \frac{1}{2} \frac{\partial^2 p}{\partial x_4^2} \quad (1.14)$$

Структура уравнения (1.12) такова, что относительно моментных функций определенного порядка  $r$  получается независимая система уравнений, которая позволяет исследовать устойчивость нулевого решения уравнения (1.1), используя определение устойчивости по отношению к моментным функциям различного порядка. Уравнения относительно моментных функций  $m_{\underbrace{jk\ell\dots}_r}(t)$  порядка  $r$  представим в матричной форме

$$dm_r/dt = A(t) m_r \quad (r=1, 2, \dots) \quad (1.15)$$

где  $A(t)$  — квадратная матрица размерности  $r+1$  с периодическими элементами. Отличные от нуля элементы матрицы имеют вид

$$\begin{aligned} a_{j,j} &= -2(j-1)\gamma, & a_{j,j-1} &= -a(j-1) \\ a_{j,j+1} &= r+1-j, & a_{j,j-2} &= \frac{1}{2}(j-1)(j-2)b^2 \end{aligned} \quad (1.16)$$

Из уравнений (1.13) и (1.14) вследствие стохастической нелинейности (1.7) и (1.8) относительно моментных функций получаем бесконечную систему связанных уравнений, правые части которых содержат моментные функции более высокого порядка. После редукции бесконечной системы уравнений к системе конечного числа уравнений на основе гипотезы квазигауссовости приходим к нелинейной системе дифференциальных уравнений. Если демпфирование в исходной системе отлично от нуля, то для полученной системы выполняются все условия теоремы Ляпунова об устойчивости по первому приближению. Вследствие этого после линеаризации приходим к системе дифференциальных уравнений первого порядка с периодическими коэффициентами вида (1.15). Матрица  $A(t)$  для экспоненциально-коррелированного процесса  $\varphi_1(t)$  (1.4) и процесса со скрытой периодичностью в приближении вторых моментных функций имеет седьмой и девятый порядок соответственно.

Дальнейший анализ устойчивости нулевого решения уравнения (1.1) по отношению к моментным функциям сводится к определению области устойчивости тривиального решения системы вида (1.15) с периодическими коэффициентами.

Для определения границ области устойчивости использовался численный метод исследования устойчивости решений линейных дифференциальных уравнений с периодическими коэффициентами [3], основанный на теории Флоке — Ляпунова. Выделение областей устойчивости производилось на плоскости  $(\mu, \nu)$  при фиксированных значениях остальных параметров. Координаты границы считались найденными, если выполнялось условие  $|\mu_+ - \mu_-| < 10^{-3}$ , где точки  $(\mu_+, \nu)$  и  $(\mu_-, \nu)$  лежат по разные стороны от границы.

2. Рассмотрим устойчивость нулевого решения стохастического уравнения (1.1), когда  $\varphi_1(t) = \xi(t)$ ,  $\varphi_2(\nu t) = \cos \nu t$ .

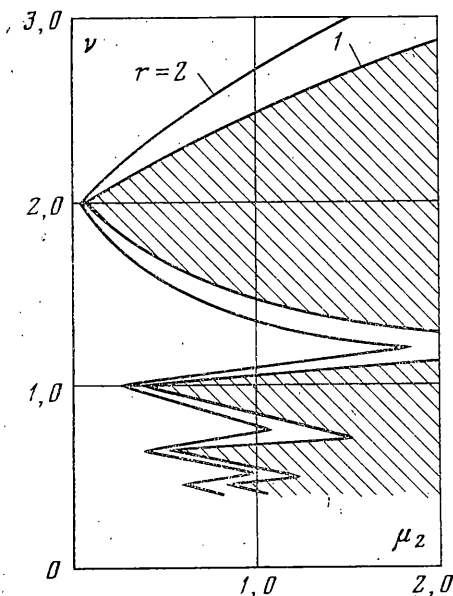
Для мультипликативного представления процесса  $\Phi(t)$  (1.2) границы области неустойчивости не зависят от частоты возбуждения  $\nu$ . Условием устойчивости для системы моментных функций первого порядка (условие устойчивости в среднем) является положительность коэффициента демпфирования ( $\gamma > 0$ ). Нулевое решение системы устойчиво относительно моментных функций второго порядка (устойчивость в среднем квадратическом), если  $\mu^2 < 8\gamma$ . Аналогичный результат получен в [4] методом малого параметра. Учитывая, что дисперсия процесса  $\Phi(t)$  равна  $\sigma_\Phi^2 = \mu^2(1 + \cos 2\nu t)/2$ , приходим к выводу, что периодически нестационарное воздействие  $\Phi(t) = \mu\xi(t)\cos \nu t$  эквивалентно по устойчивости воздействию в виде стационарного гауссовского белого шума с интенсивностью, в два раза меньшей [5].

Система (1.15) некоторой заменой переменных  $m_r = L(t)x$  ( $L(t)$  — матрица Ляпунова) приводима к системе уравнений с постоянными коэффициентами

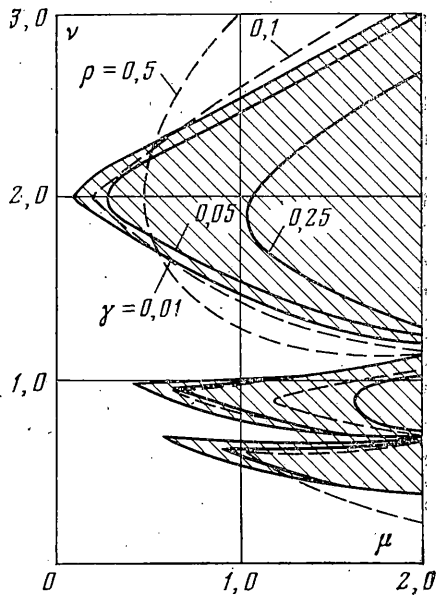
$$dx/dt = A_0 x \quad (2.1)$$

Матрица  $A_0$  размерности  $r+1$  соответствует системе уравнений относительно моментных функций порядка  $r$  для уравнения (1.1), возбуждаемого стационарным гауссовским белым шумом с интенсивностью  $s/2$ . Отличные от нуля элементы матрицы определяются выражениями

$$\begin{aligned} a_{j,j}^0 &= -2(j-1)\gamma, & a_{j,j-1}^0 &= -(j-1) \\ a_{j,j+1}^0 &= r+1-j, & a_{j,j-2}^0 &= \frac{1}{2}(j-1)(j-2)\mu^2 \end{aligned}$$



Фиг. 1



Фиг. 2

При аддитивном представлении процесса  $\Phi(t)$  (1.3), где  $\varphi_1(t) = \xi(t)$ ,  $\varphi_2(\nu t) = \cos \nu t$ , на конфигурацию областей устойчивости нулевого решения системы существенное влияние оказывает второе слагаемое в (1.3). Области устойчивости уравнения (1.1) по моментным функциям первого порядка соответствуют областям устойчивости уравнения

$$\frac{d^2 m_1}{dt^2} + 2\gamma \frac{dm_1}{dt} + (1 + \mu_2 \cos \nu t) m_1 = 0 \quad (2.2)$$

и не зависят от интенсивности белого шума.

На фиг. 1 показаны границы областей устойчивости, соответствующие стохастической устойчивости по моментным функциям порядка  $r=1, 2$ , для случая  $\gamma=0,01$ ,  $\mu_1=0,15$ . Области неустойчивости для  $r=1$  заштрихованы.

Как и в случае мультипликативного представления процесса  $\Phi(t)$ , с увеличением порядка моментных функций условия устойчивости становятся жестче. Если  $\mu_1^2 > 4\gamma$ , то система (1.1) неустойчива в среднем квадратическом при любых значениях  $\nu$  и  $\mu_2$ . Относительно моментных функций третьего порядка система неустойчива, если выполняется хотя бы одно из условий

$$\mu_1^2 > 4\gamma^2(4 + 37\gamma^2 + 40\gamma^4), \quad \mu_1^2 > (1 + 8\gamma^2)/(4\gamma) \quad (2.3)$$

3. Для экспоненциально-коррелированного процесса  $\varphi_1(t)$  с корреляционной функцией

$$K_{\varphi_1}(\tau) = \sigma_{\varphi_1}^2 e^{-\rho|\tau|} \quad (3.1)$$

где  $\sigma_{\varphi_1}^2 = s/2\rho$ , система уравнений (1.15) относительно моментных функций до второго порядка включительно разделяется на две независимые системы ( $a$  и  $b$  — коэффициенты, зависящие от вида процесса  $\Phi(t)$ ):

$$dm_{11}/dt = 2m_{12}, \quad dm_{12}/dt = -am_{11} - 2\gamma m_{12} + m_{22} \quad (3.2)$$

$$dm_{22}/dt = -2am_{12} - 4\gamma m_{22}$$

$$dm_1/dt = m_2, \quad dm_2/dt = -am_1 - 2\gamma m_2 - bm_{13} \quad (3.3)$$

$$dm_{13}/dt = -\rho m_{13} + m_{23}, \quad dm_{23}/dt = -b\sigma_{\varphi_1}^2 m_1 - am_{13} - (2\gamma + \rho) m_{23}$$

При мультипликативном представлении  $\Phi(t)$  условием устойчивости системы (3.2) с постоянными коэффициентами является положительность коэффициента демпфирования.

Анализ системы (3.3) в случае  $\varphi_2(vt) = \cos vt$  дает границы областей устойчивости (фиг. 2), которые имеют вид клиньев, примыкающих при  $\gamma \rightarrow 0$  к точкам на оси частот

$$\gamma = 2/p \quad (p=1, 2, \dots) \quad (3.4)$$

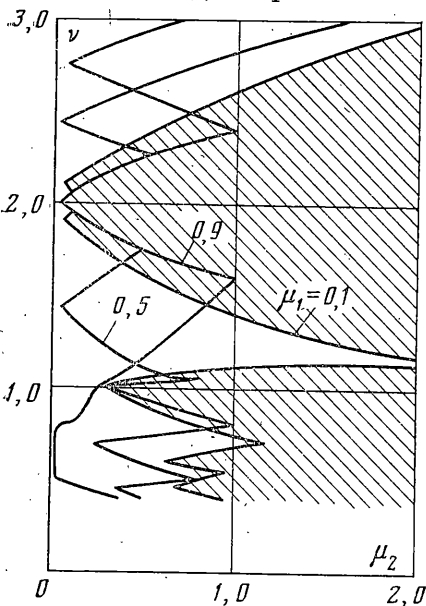
Фигура иллюстрирует влияние демпфирования  $\gamma$  и коэффициента широкополосности  $\rho$  процесса  $\varphi_1(t)$  на области неустойчивости системы. Сплошными линиями нанесены границы областей неустойчивости, полученные для различных значений коэффициента  $\gamma$  при  $\rho=0,02$ . Штриховыми — для различных значений  $\rho$  при  $\gamma=0,01$ . Области неустойчивости для случая  $\gamma=0,01$ ,  $\rho=0,02$  заштрихованы. При вычислениях было принято  $\sigma_{\varphi_1}^2=1$ .

Для процесса  $\Phi(t)$  вида (1.3) и  $\varphi_2(vt) = \cos vt$  критические значения частот возбуждения системы (3.2) при  $\gamma \rightarrow 0$ ,  $\mu_2 \rightarrow 0$  определяются соотношением (3.4), а критические частоты возбуждения системы (3.3) при  $\gamma \rightarrow 0$ ,  $\mu_2 \rightarrow 0$  и  $\rho \ll 1$  равны

$$v = 2\sqrt{1 \pm \mu_1}/p \quad (p=1, 2, \dots) \quad (3.5)$$

Из частотного соотношения (3.5) следует, что если коэффициент возбуждения  $\mu_1 > 1$ , то нулевое решение системы (3.3) при  $\mu_2 = 0$  неустойчиво, а для  $\mu_2 > 0$  возможно явление параметрической стабилизации.

На фиг. 3 показаны области неустойчивости системы (1.1) по совокупности моментных функций первого и второго порядков для различных значений  $\mu_1$  при  $\gamma=0,01$ ,  $\rho=0,02$ . Как видно из фигуры, все параметрические резонансы соответствуют соотношениям (3.4) и (3.5). С увеличением коэффициента широкополосности  $\rho$  процесса  $\varphi_1(t)$  избирательная способность резонансов вблизи частот (3.5) существенно снижается, это следует из структуры системы (3.3), а резонансы, определяемые соотношением (3.4), не трансформируются, так как  $\rho$  не входит в систему (3.2). На фигуре заштрихованы области неустойчивости, соответствующие случаю  $\mu_1=0,1$ .



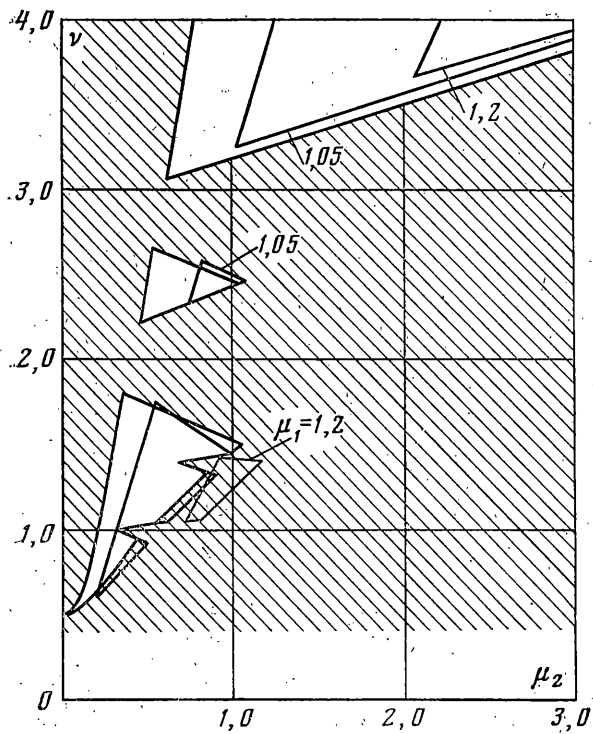
Фиг. 3

Области стабилизации системы на плоскости  $(\mu_2, \nu)$  показаны на фиг. 4 и 5. С увеличением параметра возбуждения  $\mu_1$  область стабилизации уменьшается. На фиг. 4 область неустойчивости при  $\gamma=0,01$ ,  $\rho=0,02$ , соответствующая значению  $\mu_1=1,02$ , заштрихована. Изменение структуры и конфигурации области стабилизации в зависимости от коэффициента широкополосности  $\rho$  при  $\gamma=0,01$ ,  $\mu_1=1,05$  показано на фиг. 5. Для случая  $\rho=0,02$  области стабилизации оставлены незаштрихованными. Как следует из полученных результатов, с увеличением  $\rho$  область параметрической стабилизации системы расширяется. Левая граница области стабилизации смещается к оси частот и при  $\rho=0,4$  сливается с ней. Вычисления проводились для значения  $\sigma_{\varphi_1}^2=1$ .

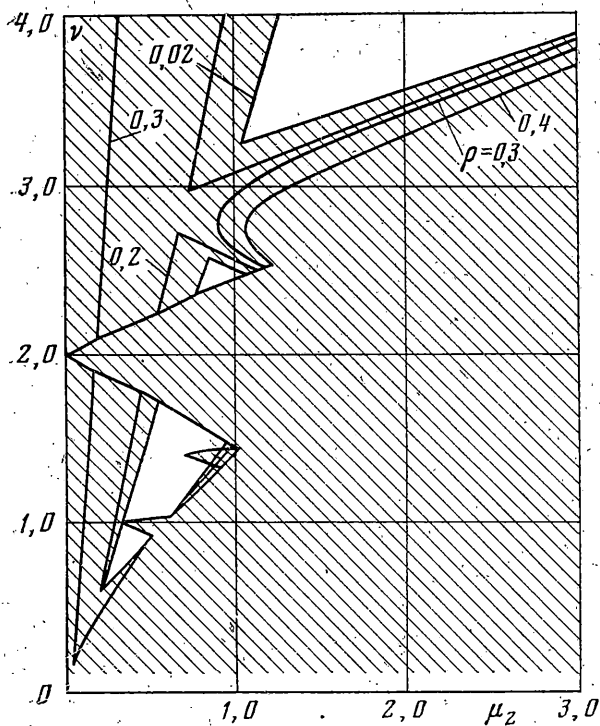
4. Пусть теперь процесс  $\varphi_1(t)$  задан формирующим фильтром (1.5). Корреляционная функция процесса  $\varphi_1(t)$  имеет вид

$$K_{\varphi_1}(\tau) = \sigma_{\varphi_1}^2 e^{-\rho|\tau|} \left( \cos \vartheta_p \tau + \frac{\rho}{\vartheta_p} \sin \vartheta_p |\tau| \right) \quad (4.1)$$

$$(\sigma_{\varphi_1}^2 = s/4\rho\vartheta^2, \quad \vartheta^2 = \vartheta_p^2 + \rho^2)$$



Фиг. 4



Фиг. 5

Система уравнений (1.8) относительно моментных функций в этом случае, как и для экспоненциально-коррелированного процесса, разделяется на две независимые системы, одна из которых совпадает с (3.2), а вторая имеет вид

$$dm_1/dt = m_2, \quad dm_2/dt = -am_1 - 2\gamma m_2 - bm_{13} \quad (4.2)$$

$$dm_{13}/dt = m_{14} + m_{23}, \quad dm_{14}/dt = -\theta^2 m_{13} - 2\rho m_{14} + m_{24}$$

$$dm_{23}/dt = -b\sigma_{\varphi_1}^2 m_1 - am_{13} - 2\gamma m_{23} + m_{24}$$

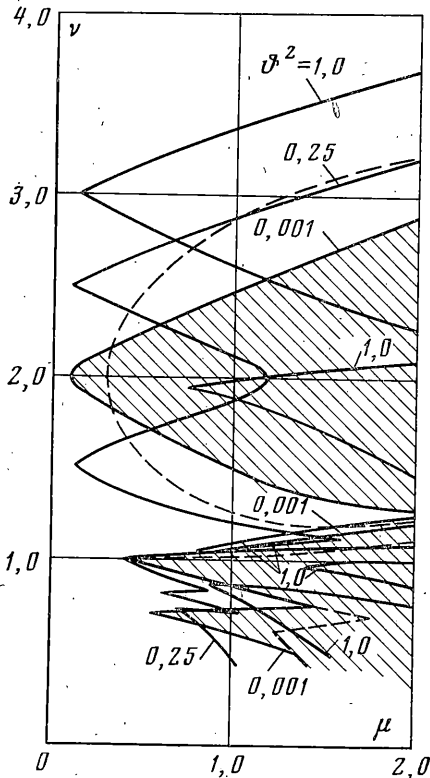
$$dm_{24}/dt = -am_{14} - \theta^2 m_{23} - 2(\gamma + \rho)m_{24}$$

Анализ системы (4.2) для параметрического воздействия  $\Phi(t)$  в виде процесса со скрытой периодичностью, модулированного периодической функцией  $\cos vt$ , позволяет выделить группы возможных критических частот, удовлетворяющих при  $\gamma \rightarrow 0$ ,  $\rho \ll 1$  соотношениям

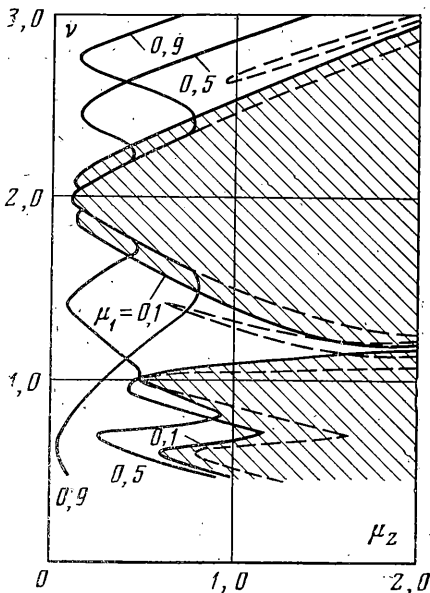
$$\nu = 2/p, \quad \nu = |2 \pm \theta|/p, \quad (4.3)$$

$$\nu = 2|1 \pm \theta|/p \quad (p=1, 2, \dots)$$

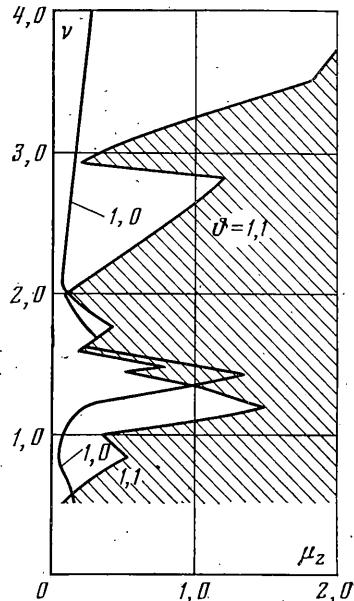
Как видно из результатов численного анализа (фиг. 6), все области параметрических резонансов располагаются вблизи частот (4.3). Например, с увеличением несущей частоты  $\theta$  область главного параметрического резонанса раздваивается, а критические значения частот определяются по формуле  $\nu = 2 \pm \theta$ . Вычисления проводились при  $\gamma = 0,01$ ,  $\rho = 0,02$  и различных значениях  $\theta$ . Увеличение коэффициента широкополосности  $\rho$  приводит в основном к сглаживанию и существенному расширению области глав-



Фиг. 6



Фиг. 7



Фиг. 8

ного параметрического резонанса при смещении границ в область больших значений  $\mu$ . Штриховая линия на фигуре соответствует значениям  $\rho=0,5$ ,  $\vartheta=0,5$ . Влияние  $\rho$  на побочные области параметрического резонанса проявляется в меньшей степени. На фигуре заштрихованы области неустойчивости для  $\vartheta^2=0,001$ .

Результаты численного исследования устойчивости нулевого решения системы (1.1) по совокупности моментных функций первого и второго порядков для аддитивного представления  $\Phi(t)$  (1.3) в случае  $\varphi_2(vt)=\cos vt$  приведены на фиг. 7, 8.

Анализ систем (3.2) и (4.3) показывает, что области неустойчивости на плоскости параметров  $(\mu_2, \nu)$  имеют достаточно сложную конфигурацию. В частности, при  $\gamma \rightarrow 0$ ,  $\rho \ll 1$ ,  $\vartheta^2 \ll 1$  и  $\mu_1 < 1$  возможно появление параметрических резонансов, соответствующих соотношениям (3.5) (фиг. 7).

Вычисления проводились для случая  $\gamma=0,02$ ,  $\rho=0,02$ ,  $\vartheta^2=0,001$  и различных значений интенсивности  $\mu_1$  стохастической составляющей процесса  $\Phi(t)$ . При малых значениях  $\mu_1$  можно ожидать также появления ряда клиньев вблизи частот, удовлетворяющих соотношениям (4.3). Штриховой линией на фиг. 7 нанесены границы областей неустойчивости для значений  $\mu_1=0,1$ ,  $\vartheta^2=0,25$ . Заштрихованы области неустойчивости для  $\mu_1=0,1$ ,  $\vartheta^2=0,001$ .

Как известно [6], границы областей неустойчивости в стохастической системе (1.1) для воздействия  $\Phi(t)=\mu_1\varphi_1(t)$  ( $\mu_2=0$ ), где  $\varphi_1(t)$  — стационарный случайный процесс, удовлетворяющий уравнению формирующего фильтра (1.5), существенным образом зависят от соотношения несущей частоты  $\vartheta$  процесса  $\varphi_1(t)$  и собственной частоты системы. Введение периодического возмущения в систему, возбуждаемую стационарным случайным процессом (1.5), приводит к явлениям стабилизации или дестабилизации исходной системы — в зависимости от значений несущей частоты процесса  $\varphi_1(t)$ . Так, при  $\mu_1 > 1$  и малых значениях  $\gamma$ ,  $\rho$ ,  $\vartheta^2$  область стабилизации будет иметь структуру, аналогичную структуре области стабилизации при возбуждении системы экспоненциально-коррелированным процессом (фиг. 4).

На фиг. 8 показаны области устойчивости системы (1.1) с параметрическим воздействием (1.3) для случая  $\gamma=0,02$ ,  $\rho=0,02$ ,  $\mu_1=1,05$  и  $\vartheta=1,0$  и  $1,1$ , когда система (1.1), возбуждаемая стационарным случайным процессом со скрытой периодичностью  $\Phi(t)=\mu_1\varphi_1(t)$ , устойчива. Наличие периодического возбуждения  $\varphi_2(vt)=\cos vt$  приводит к дестабилизации системы. Области неустойчивости для значения  $\vartheta=1,1$  на фигуре заштрихованы. При проведении всех вычислений принималось  $\sigma_{\varphi_1}^2=1$ .

#### ЛИТЕРАТУРА

1. Болотин В. В. Случайные колебания упругих систем. М.: Наука, 1979. 335 с.
2. Bolotin V. V. Reliability theory and stochastic stability.— In: Study on Stability. Waterloo: University of Waterloo Press, 1971, p. 385–422.
3. Болотин В. В. Численный анализ устойчивости линейных дифференциальных уравнений с периодическими коэффициентами.— В кн.: Избранные проблемы прикладной механики. М.: ВИНТИ, с. 155–166.
4. Wedig W. Stabilitätsbedingungen für ein Schwingungssystem mit Zufälliger Parameterregung.— Acta techn. Acad. Sci. Hung., 1974, В. 76, No. 1–2, p. 1–19.
5. Москвин В. Г., Смирнов А. И. К устойчивости линейных стохастических систем.— Изв. АН СССР. МТТ, 1975, № 4, с. 62–65.
6. Болотин В. В., Москвин В. Г. О параметрических резонансах в стохастических системах.— Изв. АН СССР. МТТ, 1972, № 4, с. 88–92.

Москва

Поступила в редакцию  
17.IV.1980